

Lekce VI - Rozptylové veličiny v okolí $E=0$

VI-1

a v okolí rezonance

① Nízkoenergetické chování rozptylových veličin

Jostova funkce: $y_e(p) = 1 + \frac{1}{p} \int_0^\infty \hat{h}^{(+)}(pr) U(r) \phi_{ep}(r) dr$

chování pro $p \gg 0$: $\phi_{ep} \sim j_e(p\mu) \sim \frac{(p\mu)^{2l+1}}{(2l+1)!!} [1 + O(p^2)]$

$$\hat{h}^{(+)}(p\mu) = n_e + i j_e \sim \frac{(2l+1)!!}{(p\mu)^l} + i \frac{(p\mu)^{2l+1}}{(2l+1)!!}$$

$$\Rightarrow y_e(p) = 1 + A + Bp^2 + \dots + i C p^{2l+1} (1 + O(p^2)) \quad (JO)$$

$$= |y_e(p)| (\cos \delta_e - i \sin \delta_e) \quad \rightarrow \frac{\cos \delta}{\sin \delta} = - \frac{\operatorname{Re} y}{\operatorname{Im} y}$$

$$\Rightarrow p^{2l+1} \operatorname{ctg} \delta_e = - \frac{1}{a_e} + \frac{1}{2} k_e p^2 + \dots \quad (\rightarrow)$$

mimořádně k-matice ... $= \frac{1}{2} k_e p^2$
kde jsme definovali rozptylovou délku a_e
(scattering length)

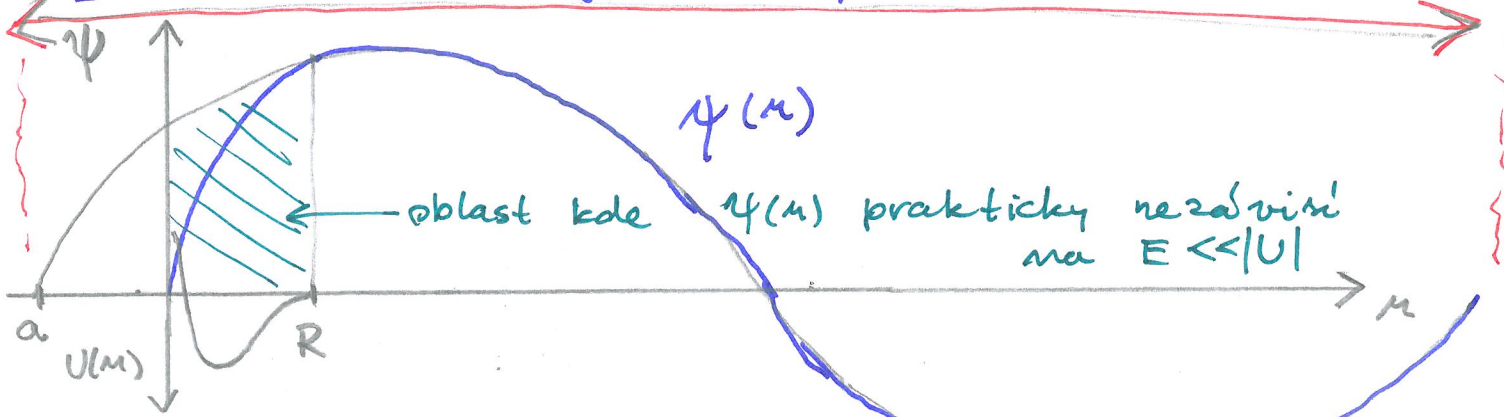
a efektivní polomér k_e

- pozn: Předpokládali jsme analytickost $y_e(p)$ v okolí počátku \rightarrow závisí na $U(r)$... ok pro exp. subtrahující
 \rightarrow podrobnejší analýza: ... dle krátkodobosého $U(r) \sim r^{-S}$
 $\rightarrow a_e$ je dobré def pro $2l+3 < S$
 k_e pro $2l+5 < S$
- pozn: pro $S \leq 4$ musí být rozvaj (\rightarrow) souběžně
 \rightarrow musí se modifikovat samotný rozvaj do parc. vln
... nebo také selme l ... závisí na níže dleží
- di pólový potenciál $U(r) \sim r^{-2}$
 \rightarrow musí se modifikovat samotný rozvaj do parc. vln
... nebo také selme l ... závisí na níže dleží
- Coulomb ... není ani dobré def δ_e ... člen $\sim \ln(p\mu)$
... vzhledem ke krátkodobé U ...

interpretace rozptylu ve délce:

VI-2

$$E \rightarrow 0 \Rightarrow \text{de Broglie } \lambda = \frac{h}{p} \rightarrow \infty \lambda$$



.. platí: $\psi_e(r) \xrightarrow{r \rightarrow \infty} C(p) [\sin(pr) + \operatorname{tg} \delta \cos(pr)]$

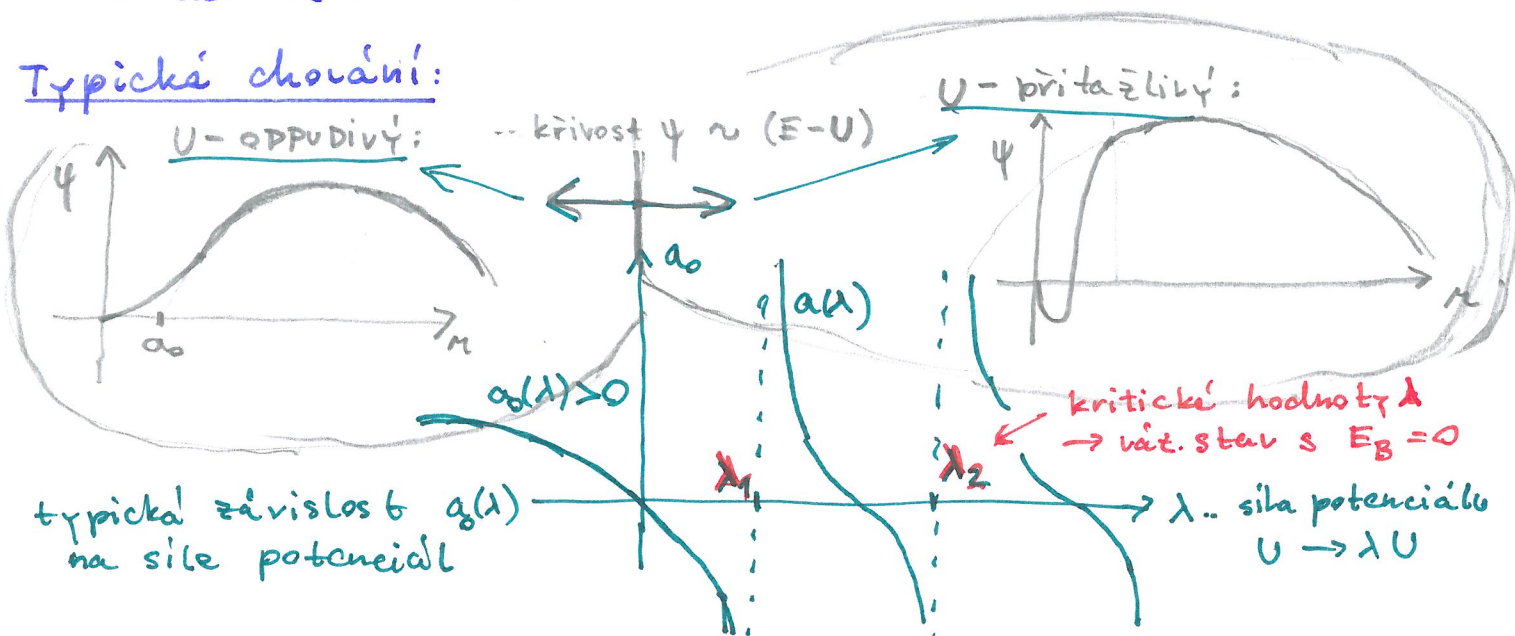
pro $E \rightarrow 0$ je nejchování těžišti s-vlna ... $\operatorname{tg} \delta_0 \approx -\alpha_0 p$
 $(\ell(\ell+1)/r^2)$ nepustí $\ell \geq 0$ do interakční oblasti $r < R$)

$$\text{tj } \psi_{l=0}(r) \rightarrow \tilde{C}(k) \sin(k(r-a))$$

b) ... pro $E \rightarrow 0$ bude interakce nabodit počátk. podmínky!

... částice nese potenciál $U(r); r \in (0, R)$ pro $\lambda \rightarrow \infty$ jde tedy o

Typické chorání:



účinný průřez: ... $\sigma \sim k^{2\ell+1}$... $E \rightarrow 0$... jen s-vlna:

$$\sigma_0 = \frac{4\pi}{p^2} (\sin \delta_0)^2 = \frac{4\pi}{p^2} \frac{(\sin \delta_0)^2}{(\sin \delta_0)^2 + (\cos \delta_0)^2} = \frac{4\pi}{p^2} \frac{1}{1 + (\cot \delta_0)^2}$$

$$\approx \frac{4\pi}{p^2} (pa)^2 = 4\pi a^2$$

diverguje pro váz. stav s nulovou energií

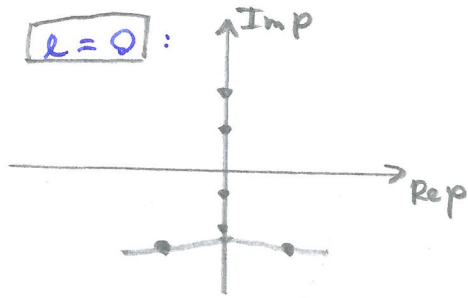
$$-\frac{1}{pa}$$

Nuly gestových funkcí v okolí poč. $p=0$

[VI-3]

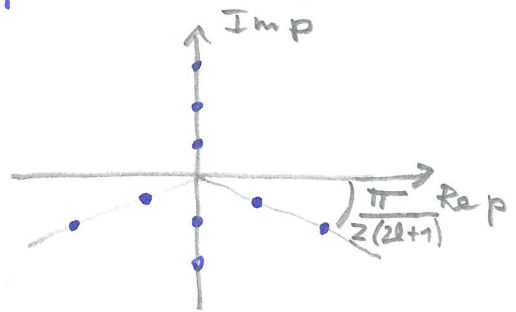
$$(JS) \rightarrow y_e(p) \approx y_e(0) + Bp^2 + iCp^{2l+1} = 0$$

$$\Rightarrow l=0 : \quad \begin{array}{c} \text{Imp} \\ \downarrow \\ \text{Rep} \end{array}$$



... může být jednoduchý pól u $p=0$

$$l > 0$$



... nesmí být jedn. pól $p=0$,
dužší

Resonance - nuly gestových funkcí poblíž reáln. osy

$$y_e(\tilde{p}) = 0 \rightarrow y_e(p) = y_e'(p - \tilde{p}) \quad \dots \text{u okolí } \tilde{p} = p_R - i p_I \quad p_R, p_I > 0$$

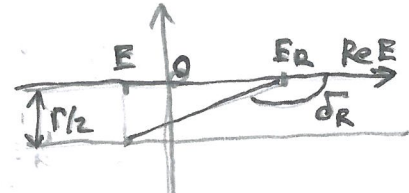
S-matice: $S(p) = \frac{y_e(-p)}{y_e(p)}$... $p \in R$ je poblíž $\tilde{p} \Rightarrow -p$ je poblíž $-\tilde{p}^*$

... rozvoj S u okolí E_R ... $E = \frac{p^2}{2m}$... $\tilde{E} = \frac{\tilde{p}^2}{2m} = E_R - \frac{i\Gamma}{2}$

$$S(E) \approx \frac{E - E_R - \frac{i\Gamma}{2}}{E - E_R + \frac{i\Gamma}{2}} \cdot e^{2i\delta_{bg}} \quad \dots \text{pozadí... příspěvek } \frac{y_e^*}{y_e} = e^{2i\delta_{bg}}$$

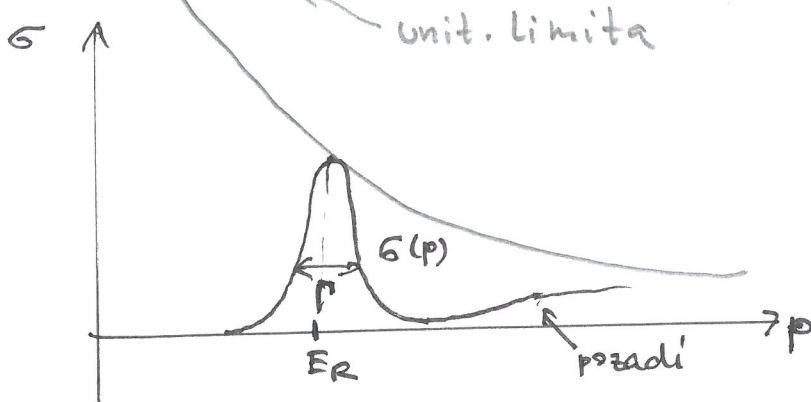
1) zanedbaní $\delta_{bg} \approx 0$... Breit-Wignerova formula

$$S = \frac{E - E_R - \frac{i\Gamma}{2}}{E - E_R + \frac{i\Gamma}{2}} = e^{2i\delta_R} \rightarrow \delta_R(E) = \arctg \frac{\Gamma/2}{E_R - E}$$



větší průřez: $\sigma_e = \frac{4\pi}{p^2} (2l+1) \sin^2 \delta_R = \frac{4\pi}{p^2} (2l+1) \left| \frac{1}{2} (S_e - 1) \right|^2$

$$= \frac{4\pi}{p^2} (2l+1) \frac{p^2/4}{(\varepsilon - E_R)^2 + \Gamma^2/4}$$



2) vliv pozadí → Fano-formule

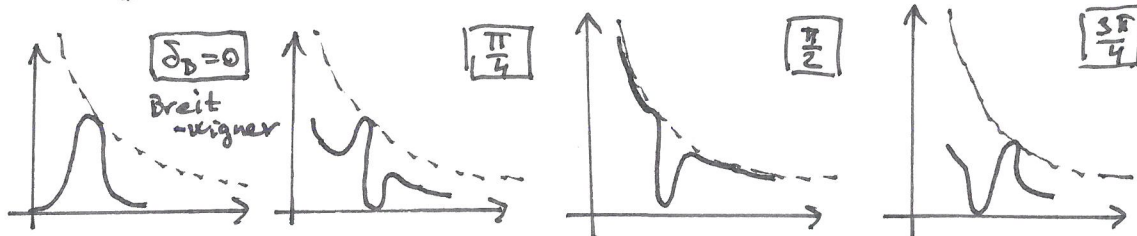
[VI-4]

$$\sigma_e = \frac{4\pi}{p^2} (2e+1) \left| \frac{1}{2} \left(\frac{\varepsilon-i}{\varepsilon+i} e^{2i\delta_{Bg}} - 1 \right) \right|^2 \quad \text{... kde } \varepsilon = \frac{E - E_R}{\pi/2}$$

$$= \dots \rightarrow \boxed{\sigma_e = \frac{4\pi}{p^2} (2e+1) \sin^2 \delta_{Bg} \cdot \frac{(\varepsilon+q)^2}{\varepsilon^2+1}}$$

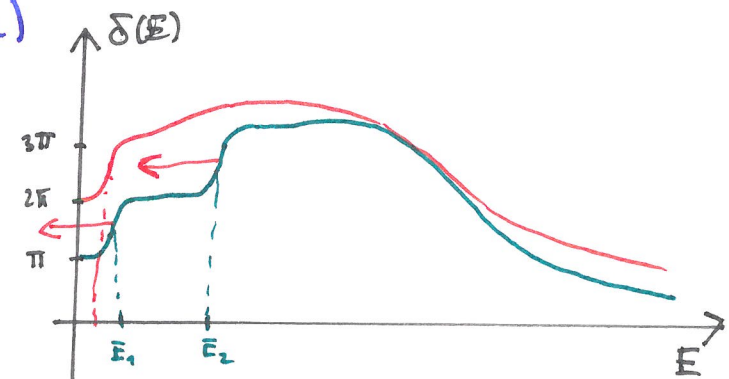
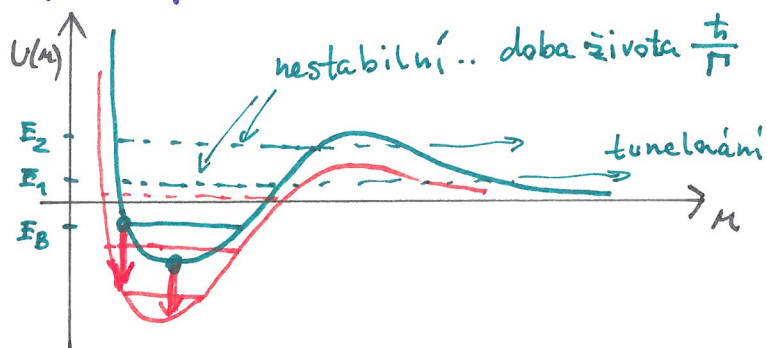
quality factor
 $q = -\cot \delta_{Bg}$

Fano-shape:

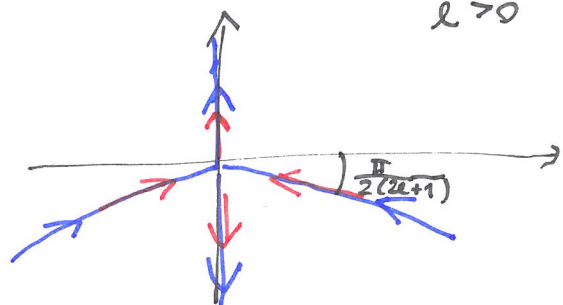
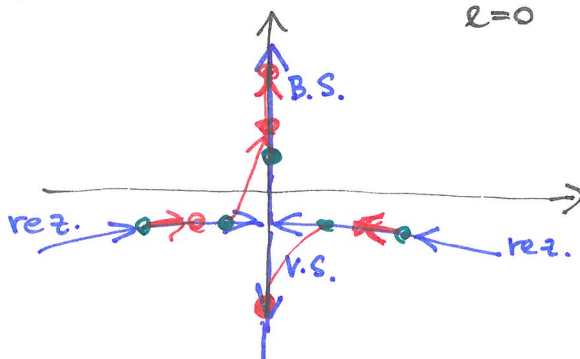


Typické trajektorie pólů s-matice

typický potenciál (shape resonance)



trajektorie pólů v $p \in \mathbb{C}$:



- pozn: Metody nestabilní rezonanční: - původní řešení pro $p \in \mathbb{C}$
- komplexní řešení
- filtrované $\sigma_e(E)$ -- Fano formule
- Projekční formalismus
- pozn: dle se analyzovat doba zdržení silového polohy
z druhé části oblasti ... $\sim \frac{t}{\pi} \dots \text{st} \sim \frac{d\sigma_e(E)}{dE}$
... viz Formánkovova učebnice